

## ЗАВИСНОСТ ПЕРИФЕРНЕ ФАЗЕ САЗРЕВАЊА В ЛИМФОЦИТА ОД ПОСТОЈАЊА Т ЛИМФОЦИТА

Новица М. МИЛИЋЕВИЋ

Институт за хистологију и ембриологију „Александар Ђ. Костић”,  
Медицински факултет, Универзитет у Београду, Београд

**КРАТАК САДРЖАЈ**

Доскора се сматрало да централна и периферна фаза сазревања *B* лимфоцита не зависе од тимуса и *T* лимфоцита. Ко-ристећи пацове који немају функционални тимус (тзв. *nude* пацови) као експериментални модел, показано је да правилно одвијање периферне фазе сазревања *B* лимфоцита зависи од постојања *T* лимфоцита. У периферној крви и лимфним чворовима ових животиња запажа се повећање броја незрелих субпопулација ( $CD90^{\text{снажно}} IgM^{\text{слабо}}$  и  $CD90^{\text{снажно}} IgM^{\text{слабо}}$ ) и смањење броја зрелих субпопулација ( $CD90^- IgM^{\text{слабо}}$  и  $CD90^- IgM^{\text{снажно}}$ ) у лимфоциту. Овакав налаз указује на постојање блока у периферној фази сазревања *B* лимфоцита код тзв. *nude* животиња. Уз то, површинска експресија функционално значајних молекула МНС класе II, ICAM-1, CD44 и L-селектина је значајно снижена на незрелим и зрелим субпопулацијама *B* лимфоцита *nude* пацова. Имплантација ткива тимуса под капсулу бубрега отклања овај блок у сазревању *B* лимфоцита, а коригује и поремећену експресију површинских молекула. Одговарајући ефекти постижу се и адоптивним преношењем *T* лимфоцита. Све ово показује да је сазревање *B* лимфоцита *nude* пацова поремећено услед непостојања *T* лимфоцита, као и да су *T* лимфоцити неопходни за правилно одвијање периферне фазе овог процеса и адекватну експресију површинских молекула. Ове налазе треба имати у виду приликом лечења болесника с *T* лимфоцитним дефицијенцијама.

**Кључне речи:** сазревање *B* лимфоцита; интеракције *B* и *T* лимфоцита; површински молекули *B* лимфоцита

**УВОД**

Добро је познато да костна срж представља место у којем се код сисара одвија централна фаза сазревања *B* лимфоцита, током које они пролазе кроз неколико добро дефинисаних ступњева развоја, после чега прелазе у циркулацију [1]. Међутим, током неколико последњих година показано је да после ове централне фазе сазревања *B* лимфоцити пролазе и кроз додатну, периферну фазу сазревања, која се одвија у слезини, када се одиграва коначно обликовање *B* ћелијског репертоара, с уклањањем аутореактивних клонова [2, 3]. Уколико се слезина хируршки одстрани из организма, долази до трајног селективног повећања броја *B* лимфоцита у периферној крви [4, 5]. Током ове периферне фазе сазревања *B* лимфоцити такође пролазе кроз неколико ступњева развоја. У периферном имуном систему пацова се, применом *Thy-1* гликопротеина ( $CD90$ ) и имуноглобулина M ( $IgM$ ) као показатеља, може извршити фина фенотипска карактеризација ћелија укључених у ову фазу сазревања и могу се дефинисати ступњеви развоја [6, 7]. Наиме, могу се јасно разликовати две субпопулације незрелих *B* лимфоцита ( $CD90^{\text{снажно}}$ ) и две субпопулације зрелих *B* лимфоцита ( $CD90^-$ ): незрели, створени у костној сржи, тзв. новоформирани (НФ; енгл. *newly formed - NF*) *B* лимфоцити ( $CD90^{\text{снажно}} IgM^{\text{слабо}}$ ) улазе у циркулацију и миграшу у слезину, где се развијају у другу незрелу субпопулацију, ране рециркулишуће фоликуларне (РРФ; енгл. *early recirculating follicular - ERF*) *B* лимфоците ( $CD90^{\text{снажно}} IgM^{\text{слабо}}$ ). РРФ *B* лимфоцити могу да се коначно диференцирају у зреле рециркулишуће фоликуларне (РФ; енгл. *recirculating follicular*

– RF) *B* лимфоците ( $CD90^- IgM^{\text{слабо}}$ ). Другу зрељу субпопулацију представљају ћелије са фенотипом *B* лимфоцита маргиналне зоне (МЗ; енгл. *marginal zone phenotype – MZ*) слезине, које су  $CD90^- IgM^{\text{слабо}}$ , за које се сматра да се могу развити од РРФ и РФ *B* лимфоцита и представљају крајњи степен развоја [7], а могу се наћи и у циркулацији, као и у другим лимфатичним органима [8]. Одговарајући ступњеви развоја описаны су и код мишева [9].

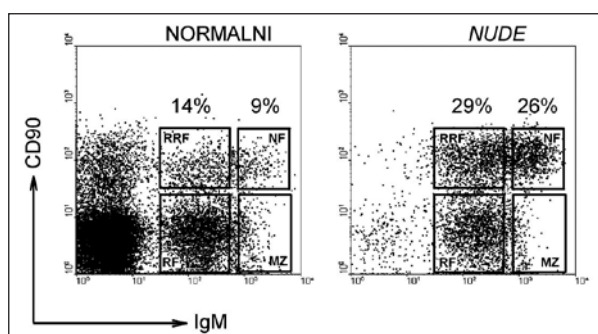
### **ТЗВ. NUDE ЖИВОТИЊЕ КАО МОДЕЛ ЗА ПРОУЧАВАЊЕ САЗРЕВАЊА В ЛИМФОЦИТА**

Уопште узевши, сматра се да сазревање *B* лимфоцита не зависи од тимуса и *T* лимфоцита, пре свега зато што се код одраслих тимектомисаних животиња с недостатком  $\alpha\beta$ -Т ћелијских рецептора (ТБР), као и код *nude* животиња, у периферној крви може забележити нормалан број *B* лимфоцита [10, 11]. Код *nude* мишева и пацова дешава се мутација једног транскрипционог фактора (*winged helix nude – Whn*), који је неопходан за диференцијацију епителних ћелија тимуса и адекватну кератинизацију длаке [12]. Услед ове мутације, *nude* животиње немају длаку, као ни функционалан тимус. Резултат овог последњег оштећења је готово потпуни изостанак *T* лимфоцита у периферном имуном систему ових животиња [13]. Почетна испитивања су показала да су неке функционалне одлике *B* лимфоцита *nude* животиња нормалне [14, 15]. Стога су ове животиње биле широко коришћене као идеалан модел за испитивање функције *B* лимфоцита [11, 16]. Међутим, неки резултати који су говорили у

супротном смислу углавном су игнорисани [17, 18], а недавно је показано да је централна фаза сазревања *B* лимфоцита у костној сржи поремећена код *nude* мишева [19]. Ови налази су указали на могућност поремећаја и у периферној фази сазревања *B* лимфоцита *nude* животиња. У испитивањима изведеним код нас су стога искоришћене могућности које овај сој животиња пружа, како би се детаљно испитала улога *T* лимфоцита и тимуса у овом процесу.

### ПОВЕЋАНА ЗАСТУПЉЕНОСТ НЕЗРЕЛИХ В ЛИМФОЦИТА У ПЕРИФЕРНОЈ КРВИ И ЛИМФНИМ ЧВОРОВИМА *NUDE* ПАЦОВА

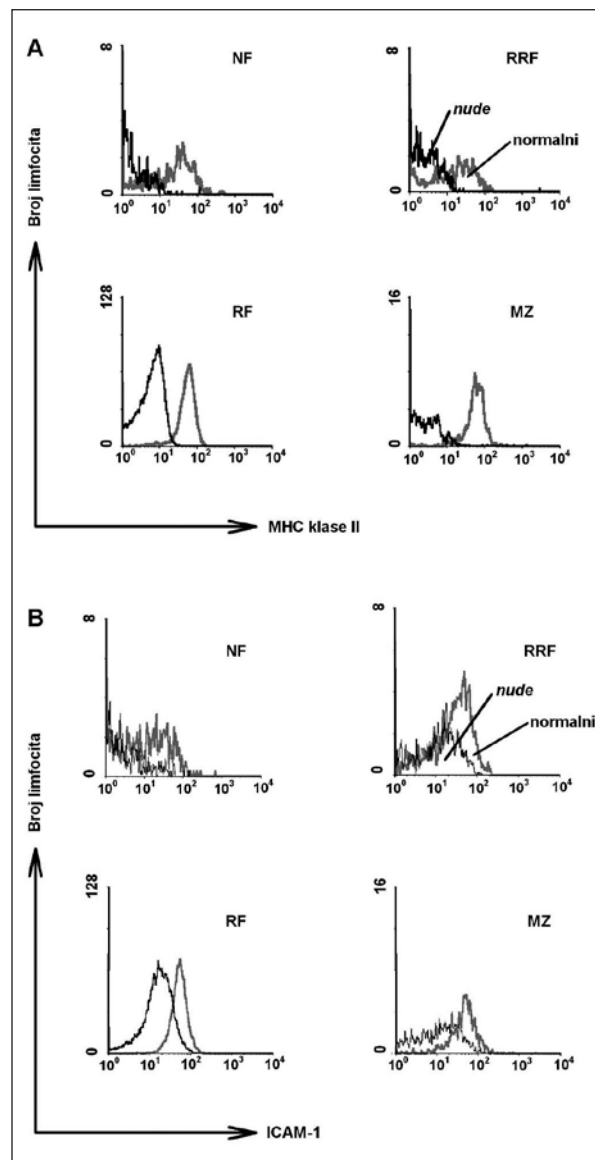
Број лимфоцита у периферној крви *nude* пацова је значајно мањи него код нормалних животиња, што је последица готово потпуног изостанка *T* лимфоцита. Насупрот овоме, број *B* лимфоцита је једнак оном код нормалних пацова [20]. Уколико се анализирају субпопулације *B* лимфоцита периферне крви, уочава се, међутим, да код *nude* пацова постоји блок у периферној фази сазревања *B* лимфоцита. Наиме, у крви ових животиња преовлађују незрели CD90<sup>+</sup> *B* лимфоцити (НФ и РРФ), који чине 55% *B* лимфоцита крви, док зрели *B* лимфоцити (РФ и МЗ) представљају само 45% *B* лимфоцита крви. Ово је у супротности с налазом код нормалних пацова, код којих незреле субпопулације чине 23%, а зреле 77% *B* лимфоцита крви (Графикон 1). Апсолутни број НФ и РРФ је заиста значајно повећан, док је број РФ и МЗ *B* лимфоцити значајно мањи код *nude* пацова него код нормалних животиња [20]. Сличан налаз добија се и уколико се анализира субпопулација *B* лимфоцита лимфних чворова, када се запажа повећан број незрелих, а смањен број зрелих облика код *nude* пацова [20].



**ГРАФИКОН 1.** Поремећене пропорције субпопулација *B* лимфоцита крви *nude* пацова. Проценат незрелих НФ (CD90<sup>снажно IgM</sup>ниско) и РРФ (CD90<sup>снажно IgM</sup>слабо) *B* лимфоцита је повећан, док је прооценат зрелих РФ (CD90<sup>IgM</sup>слабо) и МЗ (CD90<sup>IgM</sup>снажно) *B* лимфоцита смањен код *nude* пацова у поређењу с нормалним пацовима. Свака субпопулација је уоквирена, а за ове анализе коришћена је проточна цитофлуориметрија. Прерађено према [20].

**GRAPH 1.** The proportions of blood lymphocyte subsets are disturbed in the blood of nude rats. The percentages of immature NF (CD90<sup>high</sup>IgM<sup>high</sup>) and ERF (CD90<sup>high</sup>IgM<sup>low</sup>) B lymphocytes are increased, whereas those of mature RF (CD90<sup>IgM</sup>low), and MZ phenotype (CD90<sup>IgM</sup>high) B lymphocytes are decreased in nude rats, compared with normal rats. Each subset is framed, flow cytometry was used to perform the analysis. Modified from [20].

Овакав поремећај у пропорцијама субпопулација *B* лимфоцита код *nude* пацова указује на блок у периферној фази њиховог сазревања, на прелазу између незрелих и зрелих облика *B* лимфоцита. Сличан застој запажа се и код животиња с оштећеним сигналним путем рецептора *B* ћелија [9] или им недостаје ланац непроменљивих молекула (*Ii*) [21], као и код мишева којима недостају непроменљиви ланац и ДМ молекули [22]. Код свих ових животиња такође је повећана заступљеност незрелих *B* лимфоцита, док је одељак зрелих *B* лимфоцита значајно смањен.



**ГРАФИКОН 2.** Смањење експресије MHC класе II и ICAM-1 на свим субпопулацијама *B* лимфоцита крви *nude* пацова. А – Репрезентативни хистограм експресије MHC класе II. Б – Репрезентативни хистограм експресије ICAM-1 на НФ (CD90<sup>снажно IgM</sup>ниско), ЕРФ (CD90<sup>снажно IgM</sup>слабо), РФ (CD90<sup>IgM</sup>слабо) и МЗ фенотип (CD90<sup>IgM</sup>снажно) *B* лимфоцитима крви нормалних (сива линија) и *nude* (црна линија) животиња. Прерађено према [20].

**GRAPH 2.** Decreased expression of MHC class II and ICAM-1 on all blood B cell subsets of nude rats. A – Representative histograms of the MHC class II expression. B – Representative histograms of the ICAM-1 expression on NF (CD90<sup>high</sup>IgM<sup>high</sup>), ERF (CD90<sup>high</sup>IgM<sup>low</sup>), RF (CD90<sup>IgM</sup>low), and MZ phenotype (CD90<sup>IgM</sup>high) blood B lymphocytes in normal (grey line) and nude (black line) animals. Modified from [20].

## СМАЊЕНА ЕКСПРЕСИЈА ПОВРШИНСКИХ МОЛЕКУЛА НА В ЛИМФОЦИТИМА NUDE ПАЦОВА

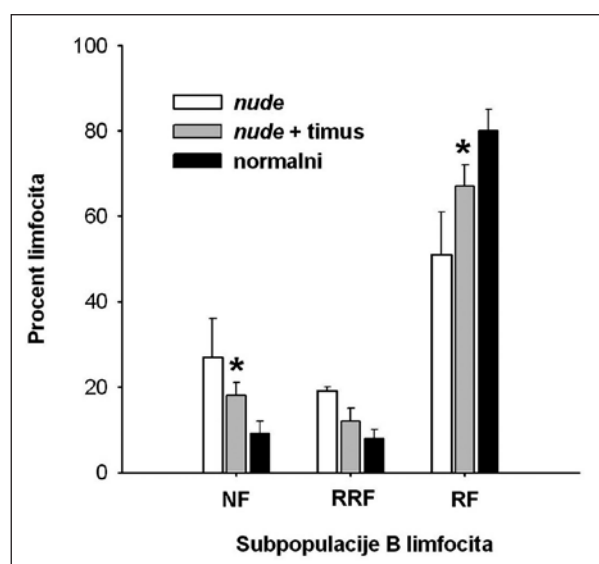
Претпоставили смо да је поремећај, односно блок у периферној фази сазревања *B* лимфоцита *nude* пацова могао бити праћен и другим поремећајима. Испитивањем већег броја функционално важних површинских молекула, који су укључени у приказивање антигена, ћелијске интеракције и миграцију *B* лимфоција, уочава се значајно слабија експресија *MHC* класе *II* (главни комплекс ткивне хистокомпабилности класе *II*), *ICAM-1* (међућелијски адхезиони молекул 1), *CD44* и *L*-селектина на *B* лимфоцитима периферне крви и лимфних чворова *nude* пацова у поређењу с нормалним животињама.

Уочава се значајно смањење експресије *MHC* класе *II* на свим субпопулацијама *B* лимфоцита крви (Графикон 2A). Истоветни резултати добијају се за оба хаплотипа (*RT1B* и *RT1D*) молекула *MHC* класе *II*. Слично овоме, значајно смањење експресије *ICAM-1* запажа се на свим субпопулацијама *B* лимфоцита периферне крви *nude* пацова (Графикон 2B). Веома занимљиво је смањење експресије *L*-селектина на РРФ, РФ и МЗ *B* лимфоцитима *nude* пацова [20]: за разлику од ових субпопулација, НФ *B* лимфоцити и код нормалних пацова показују веома слабу експресију *L*-селектина [6, 7, 9], па се сматра да је то механизам којим се ова најнезрелија субпопулација *B* лимфоцита, по изласку из костне сржи, усмерава ка слезини [23]. За разлику од лимфних чворова, *L*-селектин није потребан за улазак лимфоцита у слезину, што овој незрелој субпопулацији омогућава насељавање у овом органу [23]. Снижење површинске експресије *CD44* се такође запажа, али је значајно само на зрелим РФ и МЗ *B* лимфоцитима [20]. Одговарајући резултати добијају се анализом експресије *B* лимфоцита лимфних чворова *nude* пацова [20].

Насупрот горенаведеним молекулима, површинска експресија  $\alpha_4$ -интегрина, *MHC* класе *I*,  $\alpha$  ланца интерлеукина 2, као и *LFA-1*, није смањена код *nude* пацова у поређењу с нормалним животињама [20].

## УЛОГА ТИМУСА И Т ЛИМФОЦИТА У ПЕРИФЕРНОЈ ФАЗИ САЗРЕВАЊА В ЛИМФОЦИТА

С обзиром на то да *nude* животиње немају функционални тимус, што доводи до потпуног изостанка *T* лимфоцита из њиховог имуног система, могло се претпоставити да би то представљало узрок поремећаја и блокаде периферне фазе сазревања *B* лимфоција, које је запажено код ових животиња. Да би се проверила ова хипотеза, најпре је извршена имплантација тимусних графтова нормалних пацова под капсулу бубрежа *nude* животиња. Имплантација тимусних графтова је кориговала број *T* лимфоција у крви *nude* пацова, али је уједно и утицала на експресију површинских молекула на периферним субпопулацијама *B* лимфоцита. Уочава се значајно смањење експресије *MHC* класе *II* на свим субпопулацијама *B* лимфоцита (Графикон 2A), али и повећаје се експресија *ICAM-1* (Графикон 2B).



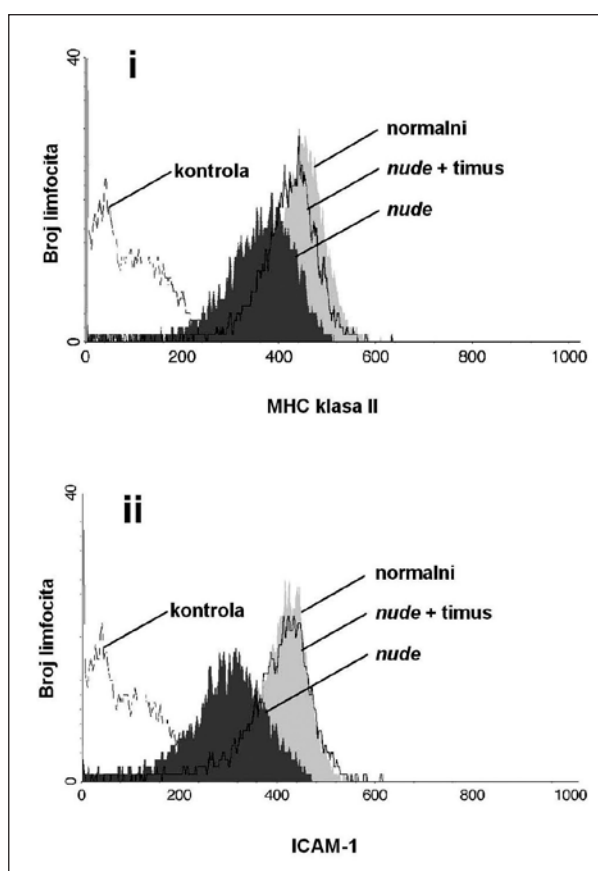
**ГРАФИКОН 3.** Проценти НФ, РРФ и РФ *B* лимфоцита крви *nude* пацова, *nude* пацова којима је имплантано ткиво тимуса и нормалних пацова. Имплантација тимуса отклања неравнотежу између незрелих и зрелих *B* лимфоцита крви *nude* пацова. Звездицом је означена статистички значајна разлика између нормалних и имплантаних *nude* животиња ( $p<0.05$ ). Прерађено према [20].

**GRAPH 3.** The percentages of NF, ERF, and RF *B* lymphocytes in the blood of nude, nude thymus-grafted and normal rats. The imbalance between immature and mature *B* lymphocytes in the blood of nude rats is alleviated by thymus engraftment. Asterisk indicates a significant difference between normal and nude thymus-grafted rats ( $p<0.05$ ). Modified from [20].

*de* пацова ( $6\pm3\%$  пре имплантације,  $25\pm7\%$  после имплантације,  $40\pm8\%$  на контроли). Установљено је да тимусни графтови снажно коригују периферну фазу сазревања *B* лимфоцита *nude* пацова. Ово се огледало у смањењу броја незрелих НФ и РРФ *B* лимфоција и истовременим повећањем броја зрелих РФ и МЗ *B* лимфоцита (Графикон 3). Сличне промене у односу на незрелих и зрелих субпопулација *B* лимфоцита запажене су и у лимфним чворовима *nude* пацова после имплантације тимусних графтова нормалних пацова под капсулу бубрежа ових животиња.

Међутим, имплантација тимусних графтова *nude* пацовима не само да отклања блок у периферној фази сазревања *B* лимфоцита и коригује однос незрелих и зрелих субпопулација ових ћелија у периферном имуном систему, већ доводи и до корекције поремећене експресије површинских молекула на субпопулацијама *B* лимфоцита периферне крви ових животиња. Долази до повећања површинске експресије *MHC* класе *II* на свим субпопулацијама *B* лимфоцита (Графикон 4*i*), као и до повећања експресије *ICAM-1* на РРФ, РФ и МЗ *B* лимфоцитима периферне крви (Графикон 4*ii*), а одговарајуће промене запажају се и на *B* лимфоцитима лимфних чворова.

Узимајући у обзир то да тимус ствара већи број активних супстанци које се ослобађају у циркулацију [24], остало је нејасно да ли су запажене промене резултат постојања имплантаног тимусног ткива *per se* или су последица јављања *T* лимфоција у имуном



**ГРАФИКОН 4.** Имплантација тимуса коригује смањену експресију MHC класе II и ICAM-1 на РФ В лимфоцитима крви nude пацова. Репрезентативни хистограми површинске експресије MHC класе II (i) и ICAM-1 (ii) на РФ В лимфоцитима (CD90-IgM<sup>low</sup>) крви nude (тамно сиво), nude пацова којима је имплантирано ткиво тимуса (прозирно) и нормалних пацова (светлосиво). Контрола представља интензитет позадинског преобојавања код изостанка примарног антитела. За ове анализе коришћена је проточна цитофлуориметрија. Прерадено према [20].

**GRAPH 4.** Thymus implantation normalizes the decreased expression of MHC class II and ICAM-1 on recirculating follicular (RF) B lymphocytes in the blood of nude rats. Representative histograms of the MHC class II (i), and ICAM-1 (ii) expression on RF B lymphocytes (CD90-IgM<sup>low</sup>) in the blood of normal (light grey), nude (dark grey), and nude thymus-grafted (transparent) animals are demonstrated. Control is the background staining of lymphocytes in the absence of primary antibody. Flow cytofluorimetry was used to perform the analysis. Modified from [20].

систему nude пацова. Да би се разјаснило ово питање, вршена је реконституција nude пацова конгеним Т лимфоцитима. На тај начин успостављан је нормалан број Т лимфоцита у њиховом имуном систему, а избегнуто је само ткиво тимуса. У овим експериментима коришћени су нормални LEW пацови ( $RT7^b$ ) као даваоци Т лимфоцита, а nude пацови ( $RT7^a$ ) као примаоци; ови сојеви су конгени за  $RT7$  алоантителен скрупулски детерминанту, па овај модел омогућава накнадно разликовање донорских  $RT7.2$  од домаћинских  $RT7.1$  лимфоцити [25]. Установљено је да успешна реконституција доводи до снажно израженог повећања површинске експресије MHC класе II на В лимфоцитима крви nude пацова до нивоа који се бележи код нормалних животиња [20].

## ЗАКЉУЧАК

Истраживања обављена код нас су показала да се nude животиње могу успешно користити као експериментални модел за проучавање улоге тимуса и Т лимфоцита у периферној фази сазревања В лимфоцита. Показано је да је код nude пацова периферна фаза сазревања поремећена, да застој у сазревању настаје на прелазу између незрелих и зрелих облика В лимфоцита, да је експресија групе површинских молекула В лимфоцита снижена, да су поремећај периферне фазе сазревања В лимфоцита и поремећена експресија површинских молекула подложни корекцији тимусним грашковима, те да је ова амелиорација посредица директног дејства Т лимфоцита, а није изазвана дејством строме тимуса. На основу ових налаза може се закључити да периферна фаза сазревања В лимфоцита зависи од постојања Т лимфоцита. Највероватније је да су, као и у другим имуним реакцијама, за правилно одвијање овог процеса потребни као директни контакти Т и В лимфоцита путем површинских молекула, тако и паракринско дејство цитокина које стварају Т лимфоцити. Налази показују и да је, упркос њиховом нормалном броју, популација В лимфоцита nude пацова поремећена, тј. да је однос зрелих и незрелих субпопулација поремећен, као и експресија функционално веома важних површинских молекула. Све наведено се мора узети у обзир код примене nude животиња као експерименталног модела, а посебно приликом разматрања резултата ранијих радова у којима су ове животиње коришћене за испитивање В лимфоцитних функција.

## ЗАХВАЛНИЦА

Резултати приказани у овом раду добијени су у сарадњи са колегама Јиргеном Вестерманом (Jürgen Westermann) из Либека, Ханс-Јиргеном Хедрихом (Hans-Juergen Hedrich) из Хановера, Клаусом Ноурдијем (Klaus Nohroudi) из Келна и Живаном Милићевићем из Београда. Истраживања су део пројекта We 1175/4-3, који је финансирало Немачко истраживачко друштво (Deutsche Forschungsgemeinschaft), и Пројекта бр. 1472, који је финансирало Министарство за науку и заштиту животне средине Републике Србије. Рад је омогућен и захваљујући потпори Фондације „Александар фон Хумболт“ (Alexander von Humboldt-Stiftung) из Бона у виду стипендије Новици М. Милићевићу.

## ЛИТЕРАТУРА

- Hardy RR, Hayakawa K. B cell development pathways. *Annu Rev Immunol* 2001; 19:595-621.
- Cancro MP. Peripheral B-cell maturation: the intersection of selection and homeostasis. *Immunol Rev* 2004; 197:89-101.
- Cariappa A, Chase C, Liu H, Russell P, Pillai S. Naive recirculating B cells mature simultaneously in the spleen and bone marrow. *Blood* 2007; 109:2339-45.

4. Milićević NM, Luettig B, Trautwein C, et al. Splenectomy of rats selectively reduces lymphocyte function-associated antigen 1 and intercellular adhesion molecule 1 expression on B-subsets in blood and lymph nodes. *Blood* 2001; 98:3035-41.
5. Milićević NM, Milićević Ž, Westermann J. Lymphocyte function-associated antigen-1 and intercellular adhesion molecule-1 expression on B-cell subsets and the effects of splenectomy-experimental studies. *Leuk Lymphoma* 2002; 43:2071-4.
6. Kroese FGM, de Boer NK, de Boer T, Nieuwenhuis P, Kantor AB, Deenen GJ. Identification and kinetics of two recently bone marrow-derived B cell populations in peripheral lymphoid tissues. *Cell Immunol* 1995; 162:185-93.
7. de Boer NK. B cell lineages in the rat: proefschrift. Groningen: Rijksuniversiteit Groningen; 1994.
8. Milićević NM, Nohroudi K, Milićević Ž, Westermann J. Blood lymphocytes, monocytes and NK cells modulate their expression of CD44, ICAM-1, LFA-1 and MHC class II after arrival into lymphoid organs. *Immunol Invest* 2004; 33:439-52.
9. Loder F, Mutschler B, Ray RJ, et al. B cell development in the spleen takes place in discrete steps and is determined by the quality of B cell receptor-derived signals. *J Exp Med* 1999; 190:75-89.
10. Mombaerts P, Mizoguchi E, Ljunggren H-G, et al. Peripheral lymphoid development and function in TCR mutant mice. *Int Immunol* 1994; 6:1061-70.
11. Kindred B. Nude mice in immunology. *Prog Allergy* 1979; 26: 137-238.
12. Nehls M, Kyewski B, Messerle M, et al. Two genetically separable steps in the differentiation of thymic epithelium. *Science* 1996; 272:886-9.
13. Nehls M, Pfeifer D, Schorpp M, Hedrich H, Boehm T. New member of the winged-helix protein family disrupted in mouse and rat nude mutations. *Nature* 1994; 372:103-7.
14. Sprent J. Circulating T and B lymphocytes of the mouse. I. Migratory properties. *Cell Immunol* 1973; 7:10-39.
15. Sprent J, Basten A. Circulating T and B lymphocytes of the mouse. II. Lifespan. *Cell Immunol* 1973; 7:40-59.
16. Croy BA, Osoba D. Nude mice – A model system for studying the cellular basis of the humoral immune response. *Cell Immunol* 1973; 9:306-18.
17. Mond JJ, Scher I, Cossman J, et al. Role of the thymus in directing the development of a subset of B lymphocytes. *J Exp Med* 1982; 155:924-36.
18. Wortis HH, Burkly L, Hughes D, Roschelle S, Waneck G. Lack of mature B cells in nude mice with X-linked immune deficiency. *J Exp Med* 1982; 155:903-13.
19. Szabo P, Zhao K, Kirman I, et al. Maturation of B cell precursors is impaired in thymic-deprived nude and old mice. *J Immunol* 1998; 161:2248-53.
20. Milićević NM, Nohroudi K, Milićević Ž, Hedrich HJ, Westermann J. T cells are required for the peripheral phase of B-cell maturation. *Immunology* 2005; 116:308-17.
21. Shachar I, Flavell RA. Requirement for invariant chain in B cell maturation and function. *Science* 1996; 274:106-8.
22. Kenty G, Martin WD, Van Kaer L, Bikoff E K. MHC class II expression in double mutant mice lacking invariant chain and DM functions. *J Immunol* 1998; 160:606-14.
23. Tang MLK, Steeber DA, Zhang X-Q, Tedder TF. Intrinsic differences in L-selectin expression levels affect T and B lymphocyte subset-specific recirculation pathways. *J Immunol* 1998; 160:5113-21.
24. Milićević NM, Milićević Ž. Thymus cell-cell interactions. *Int Rev Cytol* 2004; 235:1-52.
25. Kampinga J, Kroese FG, Pol GH, et al. RT7-defined alloantigens in rats are part of the leucocyte common antigen family. *Scand J Immunol* 1990; 31:699-710.

## T LYMPHOCYTES ARE NECESSARY FOR THE PERIPHERAL PHASE OF B LYMPHOCYTE MATURATION

Novica M. MILIĆEVIC

Institute of Histology and Embryology "Aleksandar Đ. Kostić",  
School of Medicine, University of Belgrade, Belgrade

### ABSTRACT

Until recently, B lymphocyte maturation was considered to be independent of the thymus and T lymphocytes. However, using nude animals, which lack the functional thymus, we have shown that T lymphocytes are required for the peripheral phase of B lymphocyte maturation. We showed that the proportion of immature B lymphocyte subsets ( $CD90^{\text{high}}\text{IgM}^{\text{high}}$  and  $CD90^{\text{high}}\text{IgM}^{\text{low}}$ ) was significantly increased, whereas that of mature B lymphocyte subsets ( $CD90^{\text{low}}\text{IgM}^{\text{low}}$  and  $CD90^{\text{low}}\text{IgM}^{\text{high}}$ ) was decreased in the peripheral blood and lymph nodes of nude rats. In addition, the expression of functionally important surface molecules MHC class II, ICAM-1, CD44 and L-selectin was significantly down-regulated both on immature and mature B lymphocyte subsets. The implantation of thymic tissue under the kidney capsule of nude rats alleviated the block in B lymphocyte maturation and normalized of the defective expression of surface molecules. Comparable effects were seen after the adoptive transfer of T lymphocytes. This shows that in

nude rats B lymphocytes do not mature properly due to the lack of T cell help and that T lymphocytes are required for the peripheral phase of B lymphocyte maturation, as well as for the appropriate expression of surface molecules. This should be considered when treating patients with T lymphocyte deficiencies.

**Key words:** B lymphocyte maturation; B lymphocyte/T lymphocyte interactions; B lymphocyte surface molecules

Novica M. MILIĆEVIC  
Institut za histologiju i embriologiju  
„Aleksandar Đ. Kostić“  
Medicinski fakultet  
Višegradska 26, 11000 Beograd  
Tel.: 011 3615 772  
Faks: 011 3612 567  
E-mail: emilicen@etf.bg.ac.yu

\* Приступно предавање је одржано 12. марта 2007. године.